

# 基于 PSD 的薄板焊接坡口信号识别系统

杨秀芝<sup>1</sup>, 张锐<sup>2</sup>, 王兴东<sup>3</sup>, 蒋宇辉<sup>3</sup>, 王子涵<sup>3</sup>

(1. 湖北理工学院, 湖北 黄石 435003; 2. 武汉理工大学, 武汉 430070; 3. 武汉科技大学, 武汉 430080)

**摘要:** 坡口信号识别是自动化焊接工艺的难点。基于此, 运用 PSD 传感器的光敏性设计了光路图, 建立了相对应的光路模型; 针对 PSD 传感器会出现一定程度的非线性畸变, 建立了相对应的改进模型, 根据 PSD 传感器的输出位移与时间曲线的特点, 提出了提取坡口角点信息的相关算法, 实现对角点的实时提取及坡口的形貌拟合。结果表明, 该信号识别系统能准确检测坡口的位置变化, 并对坡口存在的缺陷进行实时检测, 避免后期焊接过程出现失误, 影响焊接质量。

**关键词:** 薄板焊接; 信号识别; 坡口角点提取; PSD 畸变校正; 坡口缺陷检测

**中图分类号:** TG456.7

## 0 前言

随着合金强度韧性的提高, 薄板因其重量轻、强度高被广泛应用于汽车制造、船舶制造、航空航天等领域, 具有广阔的应用前景, 而薄板焊接则是实现薄板应用的重要一环。薄板自动焊接是国内外研究的重点, 自动焊接的关键约束因素是对坡口的检测, 在实际薄板的焊接过程中, 坡口间距小, 故坡口识别成为薄板焊接的难点。

目前, 视觉传感器是薄板坡口跟踪中常用的方式, 分为被动视觉和主动视觉<sup>[1-2]</sup>。前者通过 CCD 摄像机直接观察, 分析图像后得到坡口位置; 后者使用结构光打在坡口上, 由 CCD 摄像机采集结构光所在位置图像。Seiler 等人<sup>[3]</sup>通过高速摄像机拍摄 50 ~ 100 μm 的超薄金属箔的焊接熔池, 分析焊接后坡口处的缺陷。Yu 等人<sup>[4]</sup>同样通过观察, 用视觉校准技术转换三维坐标, 得到焊枪在两个方向上的偏差。Shao 等人<sup>[5]</sup>使用三条不同波长的结构光从而得到坡口的三维轮廓, 并能识别焊接宽度小于 0.1 mm 的坡口。鲁建波等人<sup>[6]</sup>设计了圆形扫描结构光传感器, 在坡口表面形成圆形激光轨迹, 通过 CCD 摄像机采集图像, 分析后得到坡口的三维轮廓。以上研究均采用 CCD 摄像机采集坡口信息, 但 CCD 芯片的分辨率限制于其像元之间的距离, 且摄像机的采集速度也会受到分辨率的影响, 对于间距小的

薄板坡口, 不仅难以识别, 且还需通过复杂的图像算法进行处理。而 PSD 芯片因其分辨率高, 响应速度快, 信号检出方便且处理较为简单, 在 CCD 系统中, 坡口高度的变化会导致相机与坡口的间距发生改变, 存在超过相机景深而无法采集清晰图像的问题。在相同的激光功率下, PSD 采集到的光强信号大于 CCD, 且无需负责的光学聚焦系统。文晓江等人<sup>[7]</sup>设计了扫描式激光-PSD 焊缝跟踪传感器, 主要针对大坡口 V 形坡口, 坡口精度仅为 0.4 mm。

文中采用 PSD 芯片作为信息采集装置, 配合扫描激光器, 搭建了薄板坡口信号识别系统。提出针对本系统的坡口识别算法, 实现了薄板坡口的精准快速识别。

## 1 试验系统建立

### 1.1 系统搭建

系统原理图如图 1 所示, 以坡口轨迹为直线的薄板为例, 由点激光器发出的激光, 投射到固定在步进电

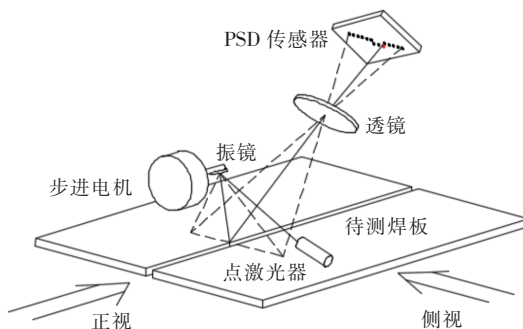


图 1 系统原理图

收稿日期: 2020-09-03

基金项目: 国家重点研发项目(2017YFB1300502)

doi: 10.12073/j.hj.20200903002

机输出轴上的反射镜上,电机以一定转速在设定的范围内做往复运动,使激光来回扫过薄板的坡口;激光点由薄板表面反射,再经镜头汇聚,在 PSD 芯片的感光区形成一系列光斑;经过后续滤波计算处理后可得到光斑集的实时坐标,进一步可根据光路捕捉到坡口的位置。

图2为搭建的坡口跟踪试验平台示意图,该平台由整体框架部分、运动控制部分和光电传感部分三部分组成。整体框架部分由支撑架和水平梁构成;运动控制部分包括电机、滚珠丝杠、滑块、导轨、水平底板和轴承片等组成;光电传感部分由振镜、点激光器、PSD 传感器、镜头、数据采集卡和计算机等组成;整体框架由铝合金型材搭建而成。表1给出试验平台的核心部

件的技术性能参数。

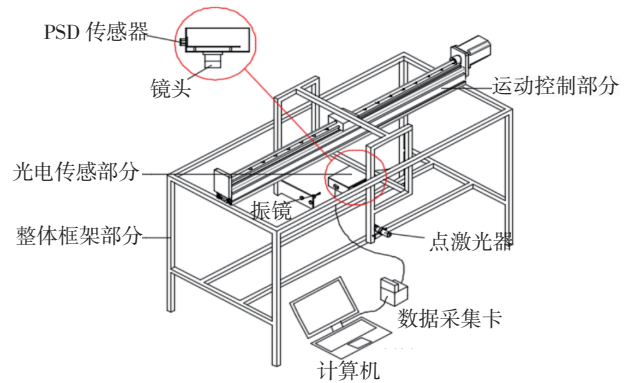


图2 坡口信号识别试验平台示意图

表1 核心部件的技术性能参数

名称	型号	参数	备注
二维 PSD 传感器	PSD-1515	分辨率为 1 $\mu\text{m}$ , 响应光谱范围为 380 ~ 1 100 nm	无
点激光器	YD-D650P50-A22-110	波长 650 nm, 功率范围为 0 ~ 80 mW	可调功率点激光器
镜头	Computer M1214-MP2	焦距 12 mm	无
步进电机 1	28BYJ-48	步距角 5.625°	驱动反射镜
振镜	银膜振镜	直径 12.7 mm, 厚度 2 mm	无
数据采集卡	NI cDAQ-9178	无	无
步进电机 2	57H2P8440A4	步距角 1.8°	驱动运动控制部分

焊件水平固定在整体框架的底部平台上;光电传感部分由运动控制部分驱动,以一定的速度纵向移动。数据采集卡将 PSD 传感器及处理模块输出的信号传送给计算机,处理得到坡口的实时位置。

### 1.2 光路设计

根据本系统的设计原理,系统的光路可从两个

方向分解正视方向与侧视方向。正视方向与直线坡口延伸方向平行,侧视方向与直线坡口延伸方向垂直。

图3为光路设计原理图。图3a为正视方向的光路。由于点激光来回横扫坡口,在 PSD 上可以得到反射点的活动范围 $\varphi$ ,推导出 $\varphi$ 与电机做往复运动的旋转

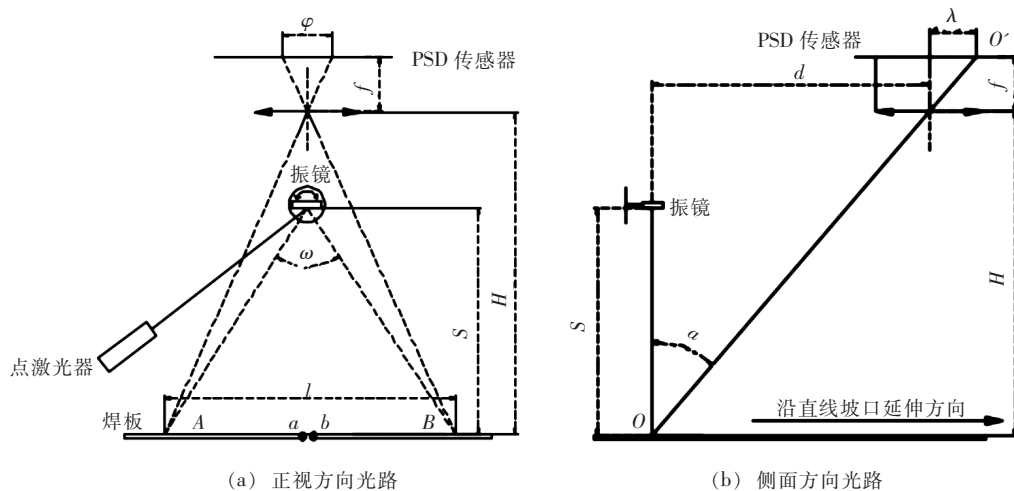


图3 光路设计原理图

角  $\omega$  的关系如式(1)所示:

$$\tan \frac{\omega}{2} = \frac{H\varphi}{2Sf} \quad (1)$$

式中:  $\varphi < \sqrt{2}l$ ,  $l$  为 PSD 的边长。当  $\varphi = \sqrt{2}l$  时, 可得到最大旋转角  $\omega_0$ , 结合实际取合适的旋转角  $\omega$  且  $\omega < \omega_0$ , 得到实际光点在坡口附近的扫描范围为点  $A$  与点  $B$  的距离  $l$ 。其中  $a, b$  分别是坡口的边沿两点。图 3b 为侧视方向的光路。测量原理为激光三角法, 有两种入射方式, 分别为直射式和斜射式两种, 其中直射式能够使结构紧凑, 在 PSD 芯片上感知强度/感光效果好, 因此选择前者。点  $O$  在 PSD 上的投影为点  $O'$ , 点  $O$  与 PSD 中心的距离为  $\lambda$ , 反射角  $\alpha$  可由式(2)求得:

$$\tan \alpha = \frac{d}{H} = \frac{\lambda}{f} \quad (2)$$

根据试验观察, 若镜头光轴、电机轴和坡口中心点垂直共线, 当激光扫描到坡口位置(图 3 点  $a-b$ )时, 反射的光强达到最大, 此时 PSD 的输出信号受到干扰, 影响数据采集。经试验研究, 设计如图 4 所示的光路, 将振镜向右偏移距离  $l_0$ , 避免了强光的干扰。改进的正视方向光路的振镜旋转角度  $\omega$  与  $l_0$  的关系如式(3)所示:

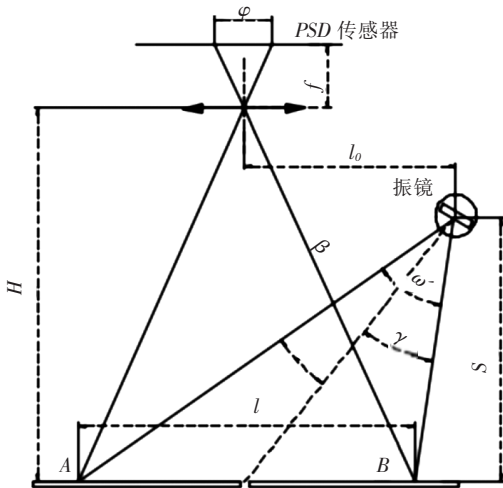


图 4 改进的正视方向光路示意图

$$\omega' = \tan^{-1}\left(\frac{2l_0 + l}{2S}\right) - \tan^{-1}\left(\frac{2l_0 - l}{2S}\right) \quad (3)$$

当坡口中心位置不在镜头正下方时, 可调节  $\beta$  和  $\gamma$  的值改变点激光器的扫描范围, 避免调整振镜位置。

### 1.3 系统校正

二维 PSD 传感器可测量光斑在平面上的实时位置, 结构原理如图 5 所示, 其光敏面近似为正方形(图 5 中阴影区域), 有两对电极为输出。由于二维 PSD 表面材料的不均匀性, 导致其光敏面易产生畸变, 且离光敏面中心越近, 畸变越小。光敏面边缘区域可采用改进的三次插值算法减小误差。

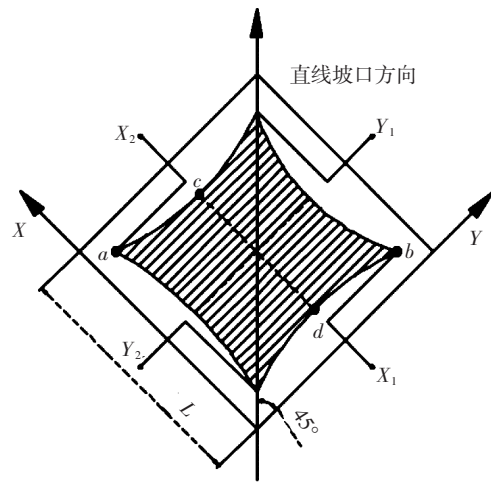


图 5 PSD 芯片光敏面的位置分布图

在坡口信号识别系统中, PSD 采集到的光斑集近似为一条直线, 观察到光敏面对角线  $ab$  的距离明显大于光敏面两边  $cd$  的距离, 为了更大程度的利用 PSD 传感器的光敏面, 转动 PSD 芯片, 使其对角线  $ab$  与直线坡口方向垂直, PSD 芯片的  $x, y$  坐标轴分别在直线坡口方向的左右且呈  $45^\circ$  夹角。

为了确定系统的各个参数, 以厚度 1 mm 的铝板为研究对象, 设置直线坡口间距 1 mm。根据对光路的分析, 结合实际, 各参数取值见表 2, 由式(1)、式(2)、式(3)可求得反射角  $\alpha$  为  $9.46^\circ$ , 振镜旋转角  $\omega'$  为  $28.01^\circ$ 。

表 2 各参数取值(对象为铝板时)

反射点的活动范围 $\varphi/\text{mm}$	PSD 焦距 $f/\text{mm}$	投影点与 PSD 中心的距离 $\lambda/\text{mm}$	光斑直径 $d/\text{mm}$	焦点高度 $H/\text{mm}$	振镜高度 $S/\text{mm}$	偏移距离 $l_0/\text{mm}$	光点扫描范围 $l/\text{mm}$	激光器功率 $P/\text{mW}$	振镜频率 $f_0/\text{Hz}$
6	12	2	25	150	109	70	75	50	2

## 2 坡口角点识别模型研究

根据试验的参数进行了试验,将得到的结果进行处理。

### 2.1 坡口角点识别算法

PSD 传感器输出信号是点激光映射在 PSD 传感器上的光斑坐标,半个周期内 PSD 传感器采集到的扫描轨迹对应图 3a 的点 A 到点 B,由此可知半周期内 PSD 采集的有效长度为点 A 与点 B 在 PSD 传感器上的映射线段。

基于所描述的平台进行试验,图 6 为振镜扫描半个周期采集到的点集合,从图像上可以观测到坡口的信息,但由于坡口及其边界的反射,其反射光变得杂乱,故无法从图像中得到精确的坡口位置。

根据二维 PSD 的特点,将点集的  $x, y$  坐标分别与时间做曲线图。图 7 是 3 个完整周期的坐标 - 时间曲线。黑色圈内的突起即为坡口信息。将一个周期的曲

线放大,如图 8 所示,为方便描述算法,假设当  $x$  - 时间曲线为上升趋势时,振镜扫描方向为图 7 中的点 A 到点 B;当  $x$  - 时间曲线为下降趋势时,振镜扫描方向相反。

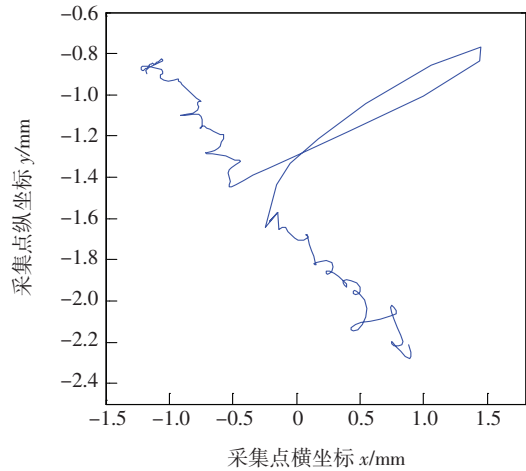


图 6 半周期 PSD 采集的点坐标集合

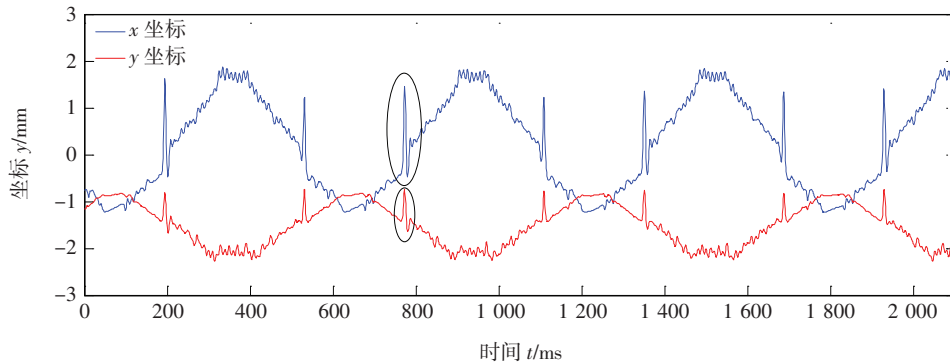


图 7  $x, y$  坐标随时间变化曲线

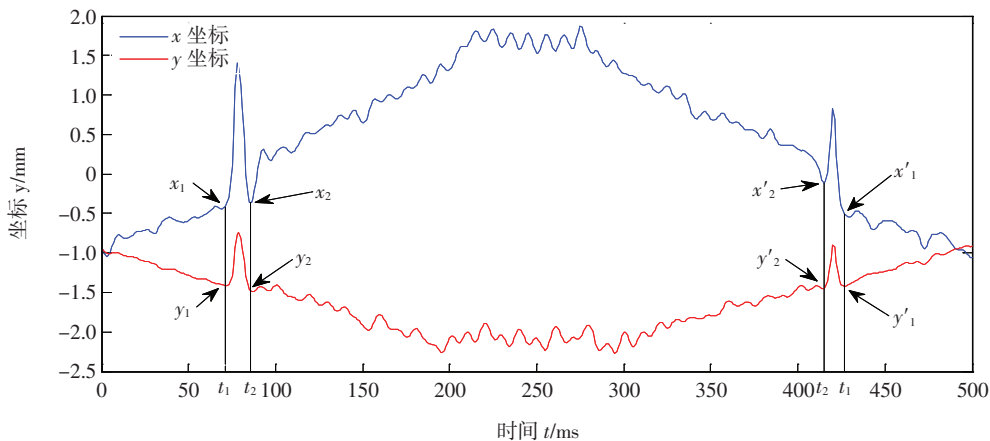


图 8 扫描周期坐标 - 时间曲线图

通过对曲线的观察,当激光点由  $a$  运动到  $b$  时,由于曲线呈上升趋势,而坡口边沿点  $a$  的  $x$  和  $y$  坐标均处于突增的位置,不易判断其具体值,而  $y$  - 时

间曲线此时呈下降趋势,故可根据点  $a$  的  $y$  坐标在图 8 中对应的时间  $t_1, t = t_1$  直线与  $x$  - 时间曲线的交点的横坐标即为点  $a$  的  $x$  坐标。类似的,点  $b$  的

坐标根据  $x$ -时间曲线得到  $t_1$ , 由  $t = t_2$  与  $y$ -时间的曲线交点得到  $y$  坐标。当  $x$ -时间曲线呈下降趋势时同理。由此可计算得到坡口边沿的两点坐标  $a(x_1, y_1), b(x_2, y_2)$ , 坡口中心点即为  $a, b$  两点的中点。

由坡口边沿点  $a$  和  $b$  在 PSD 感光面上的坐标及两点之间的距离  $\xi$ , 根据成像原理式(4)可以计算出坡口的间距值  $\psi$ 。坡口间距算法如图 9 所示, 即根据坡口点

$$\frac{\psi}{\xi} = \frac{H}{f} \quad (4)$$

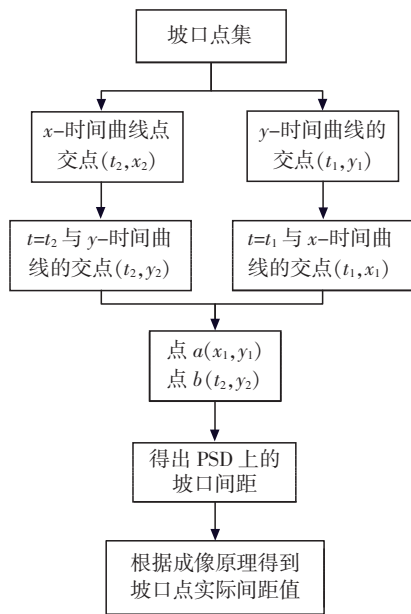


图 9 坡口间距算法流程图

集成像算出坡口实际距离。

## 2.2 坡口轨迹拟合算法

在实际焊接过程中, 坡口位置不是一成不变的, 其可能会存在空间上的位移, 即同时存在平面和高度两种位移变化。焊枪是根据坡口位置的变化而移动, 故需要分析坡口的轨迹, 即  $t_{i+1}$  得到的坡口位置较  $t_i$  位置的位移变化。

坡口轨迹在平面空间存在直线和曲线两种变化, 黑白两点分别是  $t = t_i$  和  $t = t_{i+1}$  时的坡口位置。图 10c 是图 10a 所示的直线路径下,  $t_i, t_{i+1}$  两次扫描坡口得到的坡口中心点位置, 与  $t = t_i$  相比,  $t = t_{i+1}$  时坡口中心点没有发生位移。类似的, 图 10d 是图 10b 所示的曲线轨迹下,  $t_i, t_{i+1}$  得到的坡口中心点位置,  $t = t_{i+1}$  时, 坡口中心点的位置存在位移, 且坡口中心点的位移仅在扫描得到的直线方向上。

图 11 描述了 PSD 采集的点坐标转化为坡口轨迹的过程: 当  $t = t_i$  时, 坡口在 PSD 光敏面的投影点  $Q_i(x, y)$ , 经过坐标变换公式(5)得到  $Q_i(x, y)$ , 再由光路推算得出点  $Q_i$  在焊板上的坐标。随着 PSD 以速度  $v$  进行匀速直线运动, 当  $t = t_{i+1}$  时, 可同理推算出点  $Q_{i+1}$  的坐标。以此类推, 最终可得到一系列的坡口中心点坐标, 接下来对这些点进行拟合。

$$\begin{cases} x_1 = x \cos \phi + y \sin \phi \\ y_1 = y \cos \phi - x \sin \phi \end{cases} \quad (5)$$

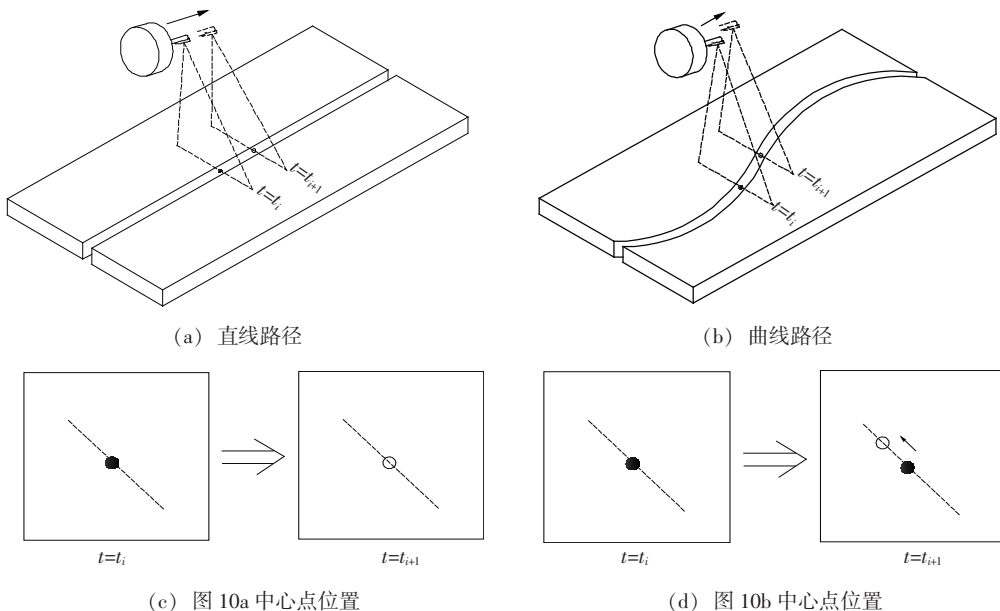


图 10 直线轨迹和曲线轨迹及其坡口位置变化

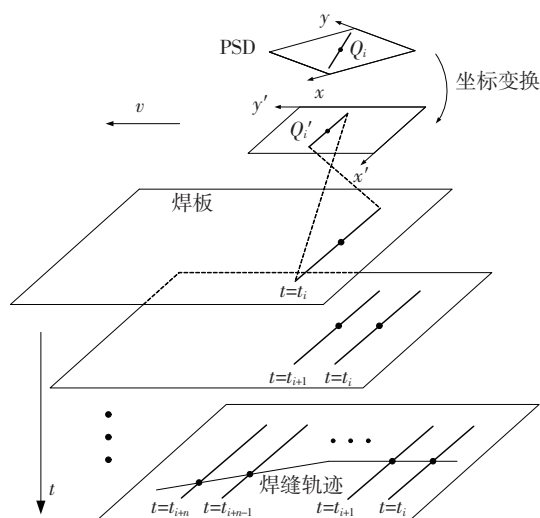


图 11 PSD 坐标转化为坡口轨迹示意图

### 3 试验及结果

在厚度 2 mm 的 100 mm × 100 mm 的铝板 2A21 试验样板上,分别按照直线和式(6)的正弦曲线加工深度为 1 mm、宽度为 4 mm 的沟槽作为直线坡口和曲线坡口,选取表 3 的 5 点位置标记采样,并计算出坡口宽度值,分析表 3 得激光-PSD 测量曲线轨迹和直线坡口宽度均差分别为 0.025 4,0.003,直线轨迹坡口宽度人工测量值均差为 0.021 6。可见,曲线与直线坡口轨迹相比,曲线轨迹和人工测量直线坡口的角点集的轨迹方程均差均超过 0.02 比较大,直线轨迹下的均差较小。

$$y = 4\sin \frac{\pi}{3}x \quad (6)$$

表 3 曲线坡口与直线坡口取样点坡口宽度(铝板) mm

取样点	曲坡口	直坡口	测量值
0	4.006	3.996	4.015
$\pi/2$	4.064	4.001	4.016
$\pi$	4.004	4.003	3.971
$3\pi/2$	3.952	3.998	3.952
$2\pi$	4.005	4.003	4.001

由此说明该系统对直线的角点采集效果更好。这是由于振镜扫描方向与斜线和曲线轨迹呈现一定程度的夹角,角点提取过程中存在一定的误差,导致对斜线和曲线的均差稍逊于直线。总体来讲,通过文中建立的系统,同时运用提出的算法,可以准确找出分段点,并能实现对薄板对接坡口轨迹的拟合。

### 4 结论

(1)与 CCD 系统相比,使用相同功率的激光器,PSD 系统中点激光的光强大于 CCD 系统中的结构光,PSD 采集到的信号干扰更小。

(2)系统中的振镜可以根据坡口的变化,通过控制电机旋转角度改变图 4 中  $\alpha, \beta$  的角度,改变点激光扫描范围,避免移动元件破坏光路。

(3)相对于采用 CCD 相机的传统机器视觉方法,后续处理数据量小,速度快,成本上有所降低。

(4)拟合坡口轨迹,精确识别坡口位置,并能预测坡口轨迹的发展。

### 参考文献

- [1] 余卓骅,胡艳梅,何银水. 薄板机器人自动焊接焊枪三维偏差的有效提取[J]. 焊接学报, 2019, 40(11): 49 - 53.
- [2] 孙博文,朱志明,郭吉昌,等. 基于激光结构光的视觉传感器的图像处理技术研究应用及展望[J]. 焊接, 2018(9): 10 - 14.
- [3] Seiler M, Patschger A, Bliedtner J. Investigations of welding instabilities and weld seam formation during laser microwelding of ultrathin metal sheets [J]. Journal of Laser Applications, 2016, 28(2): 022417.
- [4] Yu Z H, He Y S, Xu Y L, et al. Vision-based deviation extraction for three-dimensional control in robotic welding with steel sheet [J]. The International Journal of Advanced Manufacturing Technology, 2018, 95(1-4): 23 - 49.
- [5] Shao W J, Huang Y, Zhang Y. A novel weld seam detection method for space weld seam of narrow butt joint in laser welding [J]. Optics and Laser Technology, 2018, 99: 39 - 51.
- [6] 鲁建波,徐培全,姚舜,等. 圆形扫描结构光传感器的标定和焊缝检测[J]. 焊接学报, 2006, 27(4): 53 - 56.
- [7] 文晓江,刘春,赵琳,等. 激光-PSD 传感器在焊缝跟踪中的应用[J]. 传感器技术, 2001, 20(5): 41 - 43.

**第一作者简介:** 杨秀芝,1974 年出生,博士,副教授;主要从事焊接新材料、新工艺、3D 打印设备与新工艺开发的研究。

**通信作者简介:** 张锐,1974 年出生,博士,副教授;从事人工智能、智能装备与制造方面的教学与科研。

(编辑:曲畅)